# TSCHERMAKS MINERALOGISCHE UND PETROGRAPHISCHE MITTEILUNGEN

*An International Journal of Mineralogy, Crystallography, and Petrology*

# TMPM

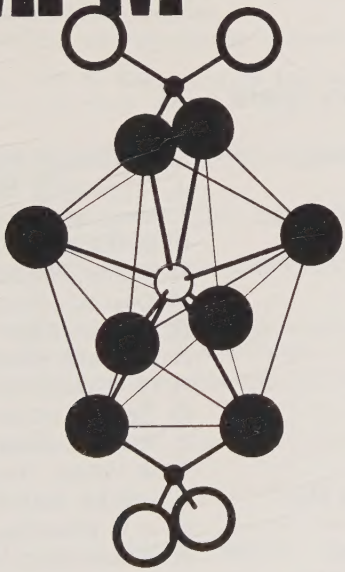

**Dritte Folge** **Vol. 27** **1980**

ISSN 0041-3763

**74 Abbildungen / Figures**

**SPRINGER-VERLAG WIEN NEW YORK**

**Tschermaks Mineralogische und Petrographische Mitteilungen**

*An International Journal of Mineralogy, Crystallography, and Petrology*

Herausgegeben von / Edited by

E. F. Stumpfl, Leoben (Managing Editor)
Z. Johan, Orléans
G. Kurat, Wien
A. Preisinger, Wien
W. Richter, Wien
J. Zemann, Wien

Fachbeirat / Advisory Board

G. C. Amstutz, Heidelberg
B. Cervelle, Paris
T. N. Clifford, Johannesburg
J. R. Craig, Blacksburg, Va.
A. D. Genkin, Moskau
G. Gottardi, Modena
D. H. Green, Hobart
K. S. Heier, Oslo
H. Höller, Graz
E. Jäger, Bern
P. Jakeš, Praha
C. James, Leicester
W. D. Johns, Columbia, Mo.
D. Jung, Hamburg
St. Karamata, Beograd
K. Keil, Albuquerque, N.M.
M. Korekawa, Frankfurt
J. F. Lovering, Melbourne
P. Metz, Salzburg
P. B. Moore, Chicago, Ill.
G. Müller, Heidelberg
M. Okrusch, Braunschweig
R. Saager, Köln
H. Saalfeld, Hamburg
H. G. S. Scharbert, Wien
O. Schulz, Innsbruck
F. Trojer, Leoben
F. M. Vokes, Trondheim
H. Wänke, Mainz
C. J. V. Wheatley, Den Haag
H. Wieseneder, Wien
J. Zussman, Manchester

Alle Rechte, einschließlich das der Übersetzung in fremde Sprachen und das der photomechanischen Wiedergabe oder einer sonstigen Vervielfältigung, auch in Mikroform, vorbehalten

The exclusive copyright for all languages and countries, including the right for photomechanical and any other reproductions including microform is transferred to the publisher

© 1980 by Springer-Verlag/Wien

# Inhaltsverzeichnis / Contents

## Vol. 27, No. 1

(17. 4. 1980)

**Paar, W. H., T. T. Chen,** and **H. Meixner:** Pb-Bi-(Cu)-Sulfosalts in Paleozoic Gneisses and Schists from Oberpinzgau, Salzburg Province, Austria (With 4 Figures) . . . . . 1

Pb-Bi-(Cu)-Sulfosalze in paläozoischen Gesteinen des Oberpinzgau, Salzburg, Österreich

**Deutsch, A.:** Alkalibasaltische Ganggesteine aus der westlichen Goldeckgruppe (Kärnten/Österreich) (Mit 6 Abbildungen) . . . . . 17

Alkali-Basaltic Dyke Rocks from the Western Goldeck Mountains, Carinthia, Austria

**Petersen, O. V.,** and **O. Johnsen:** First Occurrence of the Rare Mineral Barylite in Greenland (With 1 Figure) . . . . . 35

Das erste grönländische Vorkommen des seltenen Minerales Barylith

**Kurat, G., A. Kracher,** and **K. Keil:** Luna 16 Microbreccia Lithic Fragments: Samples of an Early Basalt Filling of Mare Fecunditatis (With 9 Figures) . . . . . 41

Luna 16 Mikrobrekzien Fragmente: Proben eines frühen Basaltes aus dem Mare Foecunditatis

**Passaglia, E.:** The Heat Behaviour of Cation Exchanged Zeolites with the Stilbite Framework (With 8 Figures) . . . . . 67

Das Temperaturverhalten von kationenausgetauschten Zeolithen mit Stilbitgerüst

**Schroll, E.,** und **E. Pak:** Schwefelisotopenzusammensetzung von Baryten aus den Ost- und Südalpen (Mit 1 Abbildung) . . . . . 79

Sulphur Isotope Composition of Barites from the Eastern and Southern Alps

Buchbesprechungen/Book Reviews . . . . . 93

## Vol. 27, No. 2

(27. 6. 1980)

**Luckschelter, B.,** and **G. Morteani:** The Fluid Phase in Eclogites, Glaucophane-bearing Rocks and Amphibolites from the Central Tauern Window as Deduced from Fluid Inclusion Studies (With 2 Figures) . 99

Die fluide Phase in den Eklogiten, den glaukophanführenden Gesteinen und den Amphiboliten des zentralen Tauernfensters abgeleitet aus der Untersuchung der Flüssigkeitseinschlüsse

**Lucido, G., P. M. Nuccio, G. Leone,** and **A. Longinelli:** Amygdaloidal Basalts: Isotopic and Petrographic Evidence for Non-Diagenetic Crustal Source of Carbonate Inclusions (With 8 Figures) . . . . . 113

Isotopen-Verteilung und Petrographie von Karbonat-Einschlüssen in Basalten: Hinweise auf nicht-diagenetische Entstehung in der Erdkruste

**Effenberger, Herta:** Petalit, $LiAlSi_4O_{10}$: Verfeinerung der Kristallstruktur, Diskussion der Raumgruppe und Infrarot-Messung (Mit 3 Abbildungen) 129
Petalite, $LiAlSi_4O_{10}$: Refinement of the Crystal Structure and Discussion of the Space Group and Infrared Measurements

**Marcopoulos, Th.,** und **C. Sideris:** Anwendung des Systems Quarz-Albit-Orthoklas-Anorthit-Wasser (Qz-Ab-Or-An-$H_2O$) auf natürliche granitische Magmen anhand von Granitproben aus dem Rhodopen-Massiv (Nord-Griechenland) (Mit 3 Abbildungen) . . . . . 143
Applicability of the System Quartz-Albite-Orthoclase-Anorthite-Water (Qz-Ab-Or-An-$H_2O$) to Natural Granitic Magmas Using Granitic Rocks from the Rhodope Massif (Northern Greece)

**Kramm, U.:** Muskovit-Paragonit Phasenbeziehungen in niedriggradig metamorphen Schiefern des Venn-Stavelot-Massivs, Ardennen (Mit 4 Abbildungen) . . . . . 153
Muscovite-Paragonite Phase Relations in Low-Grade Metamorphic Rocks of the Venn-Stavelot Massif, Ardennes

## Vol. 27, No. 3

(17. 11. 1980)

**Morauf, W.:** Die permische Differentiation und die alpidische Metamorphose des Granitgneises von Wolfsberg, Koralpe, SE-Ostalpen, mit Rb-Sr- und K-Ar-Isotopenbestimmungen (Mit 5 Abbildungen) . . 169
Permian Differentiation, Alpidic Metamorphism, Rb-Sr and K-Ar Isotopic Data of the Wolfsberg Granite Gneiss, Koralpe, Southeastern Alps

**Riffel, H., P. Keller** und **H. Hess:** Die Kristallstruktur von Warikahnit, $Zn_3[(H_2O)_2 \mid (AsO_4)_2]$ (Mit 3 Abbildungen) . . . . . 187
The Crystal Structure of Warikahnite, $Zn_3[(H_2O)_2 \mid (AsO_4)_2]$

**Rychlý, R.,** and **J. Ulrych:** Mesolite from Horní Jílové, Bohemia (With 4 Figures) . . . . . 201
Mesolit aus Horní Jílové, Böhmen

**Levillain, C.:** Etude statistique des variations de la teneur en OH et F dans les micas (Avec 5 figures) . . . . . 209
Statistical Study of (OH + F) Content of Muscovites, Biotites, and Lithium Micas

**Beran, A.:** A Reflected Light Investigation of Ilvaite (With 2 Figures) . . . 225
Auflichtuntersuchungen zur Optik des Ilvaits

Buchbesprechungen/Book Reviews . . . . . 231

## Vol. 27, No. 4

(10. 12. 1980)

**Fuchs, H. W.:** Korngefügeanalytische Untersuchungen der Siderit-Lagerstätte Hüttenberg (Kärnten) (Mit 3 Abbildungen und 24 Diagrammen) 233
Petrofabric Analysis of the Hüttenberg Siderite Deposit, Carinthia, Austria

**Leufer, U.,** und **E. Tillmanns:** Die Kristallstruktur von Brenkit, $Ca_2F_2CO_3$ (Mit 2 Abbildungen) . . . . . 261
The Crystal Structure of Brenkite, $Ca_2F_2CO_3$

**Weninger, H.:** Seltene Erden (*SEE*) in einigen Fluoriten der österreichischen Ostalpen (Mit 1 Abbildung) . . . . . 267
Rare Earth Elements (*REE*) in Some Fluorites of the Eastern Alps

**Walenta, K., B. Lehmann** und **Martina Zwiener:** Colquiriit, ein neues Fluoridmineral aus der Zinnlagerstätte von Colquiri in Bolivien . . . 275
Colquiriite, a New Fluoride Mineral from the Colquiri Tin Deposit in Bolivia

Buchbesprechungen/Book Reviews . . . . . 283

**Listed in Current Contents**

# Namenverzeichnis / Author Index

(B) = Buchbesprechung/Book Review


Bambauer, H. U. (B) 94
Beran, A. 225

Chen, T. T. 1
Cross, H. (B) 283

Deutsch, A. 17

Effenberger, Herta 129
Elwell, D. (B) 95

Fuchs, H. W. 233

Hess, H. 187
Hurlbut, C. S., jr. (B) 232

Johnson, O. 35

Keil, K. 41
Keller, P. 187
Klages, F. (B) 93
Kleber, W. (B) 284
Kracher, A. 41
Kramm, U. 153
Kurat, G. 41

Lehmann, B. 275
Leone, G. 113
Lerman, A. (B) 96
Leufer, U. 261
Levillain, C. 209
Longinelli, A. 113
Lucido, G. 113
Luckscheiter, B. 99

Marcopoulos, Th. 143
Meixner, H. 1
Morauf, W. 169
Morteani, G. 99

Nuccio, P. M. 113

Paar, W. H. 1
Pak, E. 79
Passaglia, E. 67
Petersen, O. V. 35

Riffel, H. 187
Rychlý, R. 201

Schroll, E. 79
Sideris, C. 143
Switzer, G. S. (B) 232

Taborszky, F. (B) 94
Tillmanns, E. 261
Tissot, B. P. (B) 93
Trochim, H. D. (B) 94

Ulrych, J. 201

Walenta, K. 275
Wedepohl, K. H. (B) 231
Welte, D. H. (B) 93
Weninger, H. 267

Yariv, S. (B) 283

Zinkernagel, U. (B) 95
Zwiener, Martina 275